



## مدل‌سازی عددی آزمایش‌های هیدرودینامیکی، روابط حاکم و معابر سازی

روزبه پناهی<sup>۱</sup>، ابراهیم جهان بخش<sup>۲</sup>، محمد سعید سیف<sup>۳</sup>

تهران، خیابان آزادی، دانشگاه صنعتی شریف، دانشکده مهندسی مکانیک، آزمایشگاه دریا

Roozbeh\_Panahi@yahoo.com

### چکیده

در این مقاله الگوریتم عددی شبیه سازی حرکات شناورها و زیر سطحی ها به اختصار بیان گردیده و گام های لازم برای تهیه و تایید توانایی حوضچه عددی آزمایش‌های هیدرودینامیکی (Numerical Hydrodynamics Tank) ارائه شده است.

مقایسه نتایج عددی و آزمایشگاهی، بیانگر صحت و دقیقت های الگوریتم ارائه شده و همچنین ترکیب آنها می باشد. بدین ترتیب، می توان از نرم افزار تهیه شده در بررسی توزیع سرعت، توزیع فشار و مجموع حرکات غیر خطی شناورها و زیر سطحی ها - به خصوص در مراحل اولیه طراحی - استفاده نمود.

### کلمات کلیدی :

شبیه سازی حرکات، روش گام جزئی، روش حجمی مدل‌سازی سطح آزاد، گسسته سازی حجم محدود

۱- کارشناس ارشد، آزمایشگاه دریا دانشگاه صنعتی شریف

۲- کارشناس ارشد، آزمایشگاه دریا دانشگاه صنعتی شریف

۳- دانشیار، دانشکده مهندسی مکانیک، دانشگاه صنعتی شریف



## ۱- مقدمه

بررسی حرکات در مراحل اولیه طراحی در بسیاری از مسائل صنعتی مثل بررسی رفتار شناورها، زیر دریائی ها و سکوهای نیمه مغروق کاربرد دارد. در این حالت، معمولاً جریان اطراف جسم ماهیت گذراي دو فازی (آب و هوا) غير قابل تراکم داشته و امکان حل تحلیلی معادلات پیچیده حاکم بر آن وجود ندارد. اگرچه انجام آزمایش مطمئن ترین راه به منظور بررسی چنین مسائلی می باشد، اما هزینه بالا و محدودیت در جزئیات اطلاعات حاصل از آن همراه با پیشرفت توان رایانه ها، مسیر تحقیقات را به سوی استفاده از دینامیک سیالات محاسباتی (Computational Fluid Dynamics) پیش برده است.

با توجه به پیچیدگی های فراوان، مساله پیش رو را می توان به سه بخش اصلی تقسیم نمود که عبارتند از: محاسبه توزیع سرعت و فشار (حل معادلات ناویر- استوکس و پیوستگی)، مدلسازی سطح آزاد و حل معادلات حرکت جسم صلب.

روشهای مختلفی برای حل همزمان و غیر هم زمان معادلات ناویر- استوکس و پیوستگی وجود دارد. روشهای حل همزمان با هزینه بالای محاسباتی روبرو هستند. از این رو حل غیر همزمان معادلات مذکور بیشتر مورد توجه قرار گرفته است. این روش به دو دسته اصلی رویکرد تخمین- اصلاح (Predictor-Corrector) مثل SIMPLE [۱] و PISO [۲] و رویکرد گام جزئی (Fractional Step) [۳] تقسیم می شود. در تحقیق حاضر از رویکرد گام جزئی استفاده شده است که با یک بار حل معادله فشار در هر گام زمانی، شرط پیوستگی را ارضا نموده و بر این اساس انتخاب مناسبی برای مسائل گذرا محسوب می شود. جزئیات بیشتر در رابطه با این روش در مرجع [۴] وجود دارد.

زیر مساله مهم دیگر مدلسازی سطح آزاد بوده و روشهای اصلی آن عبارتند از: روشهای سطحی یا تعقیب سطح آزاد (Surface Capturing) و روشهای حجمی یا تسخیر سطح آزاد (Surface Tracking) [۵و۶]. در این تحقیق، با توجه به لزوم شبیه سازی تغییر شکل های پیچیده مثل شکست امواج، از روش حجمی استفاده شده است [۷]. با حل دو زیر مساله بیان شده امکان شبیه سازی جریان همراه با سطح آزاد (توزیع سرعت و فشار در جریان دو فازی) بوجود می آید. اگرچه برای مدلسازی حرکت زیر سطحی ها در شرایطی که سطح آزاد اهمیت نداشته باشد، جریان به صورت تک فاز در آمده (مغروق درون آب) و مساله ساده تر خواهد شد. تحقیقات بسیاری در این زمینه به



خصوص با استفاده از روش‌های حجمی مدلسازی سطح آزاد انجام شده است که از آن جمله می‌توان به شبیه سازی شکست امواج [۹ و ۱۰]، خیس شدن عرضه شناورها [۱۱]، جابجایی آب درون مخازن [۱۲] و اثر متقابل سیال و سازه‌های دریایی [۱۳] اشاره نمود.

ذکر این نکته لازم است که برای شبیه سازی حرکات از روش‌های مبتنی بر تئوری جریان پتانسیل نیز استفاده می‌شود [۱۴]. اگرچه این روش‌ها در مقایسه با روش‌های مبتنی بر شبیه سازی جریان واقعی (رویکرد تحقیق حاضر)، در زمان بسیار کوتاهی جواب‌های قابل قبولی را ارائه می‌دهند، اما در مسائلی که لزجت از اهمیت بالایی برخوردار بوده و یا شکست موج نقش مهمی ایفا می‌نماید با خطای بالایی همراه هستند. از طرف دیگر شبیه سازی حرکات بر اساس جریان واقعی از پیچیدگی‌های بالایی برخوردار بوده و تنها در سالهای اخیر تحقیقات بسیاری در این زمینه انجام شده است. این تحقیقات از شبیه سازی‌های ساده و با درجات آزادی محدود [۱۵، ۱۶ و ۱۷]، تا شبیه سازی شش درجه آزادی حرکات با برخی محدودیت‌ها [۱۹، ۲۰ و ۲۱] و [۲۲] پیش‌رفته است.

در تحقیق حاضر، ترکیب جدیدی مت Shank از زیر مساله‌های یاد شده برای شبیه سازی شش درجه آزادی حرکات اجسام شناور و غوطه ور ارائه گردیده است. روابط حاکم به اختصار طرح شده و بر این اساس نرم افزاری تهیه شده است. در ادامه مراحل لازم برای بررسی صحت و دقیقت رویه عددی پیشنهادی بیان گردیده و نتایج حاصل با داده‌های تجربی مقایسه گردیده اند.

## ۲- الگوریتم عددی و معادلات حاکم

برای شبیه سازی حرکات به صورت عددی، رویکرد‌های مختلفی در شبکه بندی و استفاده از دستگاه‌های مختصات وجود دارد [۲۳]. در تحقیق حاضر از شبکه‌های شش وجهی که سطوح آنها با یکدیگر منطبق هستند، استفاده شده است. با حل معادلات حرکت در هر گام زمانی، شبکه متصل به بدنه جابجا شده و معادلات حاکم بر جریان در گام زمانی بعد، بر روی میدان محاسباتی جدید حل می‌شوند. به علاوه، همگی معادلات در دستگاه مرجع نیوتنی نوشته شده اند که این انتخاب معادلات حاکم بر جریان را ساده‌تر می‌نماید. البته با توجه به حرکت سلول‌های محاسباتی، باید از شار نسبی روی سطح  $\bar{U}_f - v_{f-mesh}$ ، که در شکل گسسته معادله انتقال نسبت حجمی و جمله جابجایی معادلات ناویر-استوکس ظاهر می‌شود، استفاده نمود [۲۴]. در این رابطه  $v_{f-mesh}$  سرعت شبکه محاسباتی روی



سطح سلول و  $\bar{U}$  سرعت سیال روی این سطح است. شکل ۱ بیانگر ارتباط زیر مساله های مختلف شبیه سازی عددی حرکات می باشد.

Over-Relaxed در گستته سازی معادلات ناویر- استوکس برای جمله نفوذ (Diffusion Term) از میانیابی [۲۵] استفاده شده است. جمله جابجایی (Convection Term) نیز به کمک میانیابی گاما [۲۵] استفاده شده است. گستته شده است. (Bounded Scheme) (Gamma Interpolation) که طرحی محدود است گستته شده است. برای (Crank-Nicholson) گستته سازی زمانی جملات نفوذ و جابجایی نیز از طرح کرنک - نیکلسون (Numerical Solution) استفاده شده است. به علاوه، گستته سازی جمله انتگرال فشار، در هنگامی که دو فاز سیال با اختلاف جرم حجمی زیاد مثل آب و هوا در میدان محاسباتی وجود داشته باشند، از اهمیت بالایی برخودار است. به بیان دیگر، استفاده از میانیابی خطی برای تقریب فشار روی سطح در ناحیه سطح آزاد با خطای زیادی روبرو بوده و جوابهای نوسانی در میدان سرعت ایجاد خواهد نمود. برای رفع این مشکل در تحقیق حاضر میانیابی جدید خط شکسته مورد استفاده قرار گرفته است [۲۶].

برای بالا بردن توانایی شبیه سازی سطح آزاد، در تحقیق حاضر رویکرد حجمی با حل معادله انتقال نسبت حجمی به کار برده شده است. با محاسبه توزیع دو فاز سیال در میدان محاسباتی، می توان فرض نمود که تنها یک سیال موثر وجود دارد. بدین ترتیب، معادلات ناویر- استوکس و پیوستگی برای سیال موثری با لزجت و جرم حجمی متغیر مطابق رابطه (۱) حل می گردد.

$$\rho_{eff} = \alpha \rho_1 + (1-\alpha) \rho_2 \quad \text{and} \quad V_{eff} = \alpha V_1 + (1-\alpha) V_2 \quad (1)$$

در رابطه (۱)، زیر نویس های ۱ و ۲ بیانگر دو فاز سیال (آب و هوا) هستند.  $\alpha$  نسبت حجمی و به عبارت دیگر درصد حضور دو سیال درون هر سلول می باشد و توزیع آن در میدان محاسباتی به صورت صفر (برای یک فاز مثل هوا)، یک (برای فاز دیگر مثل آب) و اعدادی بین صفر و یک در ناحیه فصل مشترک دو فاز خواهد بود. توزیع  $\alpha$  با حل معادله انتقال نسبت حجمی بدست می آید که گستته سازی آن نیازمند توجه خاصی است [۲۷]. به بیان دیگر، استفاده از میانیابی های ساده برای تقریب نسبت حجمی روی سطح سلول باعث بوجود آمدن مقادیر غیر فیزیکی (بیشتر از یک و کمتر از صفر) و تغییر شکل های غیر واقعی سطح آزاد می شود. برای رفع این مشکل از میانیابی های ترکیبی مرتبه بالا استفاده می گردد که یکی از مناسب ترین آنها میانیابی



(Mesh Compressive Interface Capturing Scheme for Arbitrary) CICSAM است [۲۷]. این

طرح با استفاده از CBC Criteria) Boundedness (Convection و [۲۸]

ترکیبی از آن دو را با توجه به جهت جریان و موقعیت سطح آزاد (ULTIMATE QUICKEST) UQ

برای محاسبه نسبت حجمی روی سطح سلول بر اساس مقادیر مرکز سلول ها ارائه می دهد [۷].

توزیع سرعت و فشار اطراف بدن باعث جابجایی آن می شود. محاسبه این حرکات با حل معادلات تغییر اندازه حرکت

خطی و زاویه ای امکان پذیر است که برای شش درجه آزادی حرکت عبارتند از:

$$\sum \bar{F} = m\bar{a} \quad (2)$$

$$\sum \bar{M}_G = I_G \bar{\alpha} + \bar{\omega} \times I_G \bar{\omega} \quad (3)$$

در روابط (۲) و (۳)،  $\bar{F}$  بردار نیروهای وارد بر بدن،  $m$  جرم بدن،  $\bar{a}$  بردار شتاب خطی،  $\bar{M}_G$  بردار گشتاور حول

مرکز جرم بدن،  $I_G$  تانسور ممان اینرسی بدن،  $\bar{\alpha}$  بردار شتاب زاویه ای و  $\bar{\omega}$  بردار سرعت زاویه ای هستند. لازم به ذکر است که تمامی بردار ها در دستگاه مرجع نیوتونی بیان می شوند (شکل ۲).

نیرو و گشتاور موجود در روابط (۲) و (۳) به کمک روابط (۴) و (۵) بدست می آیند:

$$\bar{F} = \bar{F}_{ext} + \bar{W} + \bar{F}_{flow} = \bar{F}_{ext} + m\bar{g} + \sum_{j=1}^n (-P_j \bar{n}_j + \bar{\tau}_j) A_j \quad (4)$$

$$\bar{M}_G = \bar{M}_{G-ext} + \bar{M}_{G-flow} = \bar{M}_{G-ext} + \sum_{j=1}^n (\bar{r}_j - \bar{r}_G) \times (-P_j \bar{n}_j + \bar{\tau}_j) A_j \quad (5)$$

در این روابط،  $\bar{F}_{flow}$  بردار نیروهای وارد بر بدن از طرف سیال در دستگاه مرجع نیوتونی و  $\bar{M}_{G-flow}$  بردار گشتاورهای

وارد بر بدن حول مرکز جرم از طرف سیال می باشند. به علاوه  $\bar{F}_{ext}$  و  $\bar{M}_{G-ext}$  می توانند بیانگر نیروهای خارجی مثل

سکان، پروانه و ... در دستگاه مرجع نیوتونی باشند. لازم به ذکر است که در رابطه (۴)، نیروی وزن  $m\bar{g}$  با توجه به

نوشتن نیروها در دستگاه مرجع نیوتونی، تنها در جهت محور Z مقدار خواهد داشت. همچنین در رابطه (۵)،  $\bar{r}_j$  بردار

مکان مرکز سطوح سلول های تشکیل دهنده بدن و  $\bar{r}_G$  بردار مکان مرکز جرم بدن می باشند.

نتیجه حل معادلات (۲) و (۳) ماتریس انتقالی خواهد بود که شبکه محاسباتی متصل به بدن را با توجه به حرکات

خطی و زاویه ای آن در هر گام زمانی جابجا می نماید. شکل ۲ بیانگر استراتژی شبیه سازی حرکات می باشد.



## ۲-۲- الگوریتم حل میدان سرعت و فشار

در تحقیق حاضر از رویکرد گام جزئی کیم (Kim) [۳۰] برای حل میدان سرعت و فشار استفاده شده است. بر این اساس، در ابتدا سرعت های میانی بدست آمده و در ادامه با حل معادله فشار، سرعت های فیزیکی که شرط پیوستگی را ارضا می نمایند، محاسبه می شوند. نکته دیگر استفاده از میانیابی های معمول برای تقریب سرعت مطلق سیال روی سطح سلول در چیدمان هم مکان - که تمامی متغیرهای اصلی جریان در مرکز سلول محاسبه و نگهداری می شود - می باشد. این کار موجب بوجود آمدن نوسانات غیر فیزیکی در میدان فشار شده و برای جلوگیری از آن باید از میانیابی های خاصی استفاده نمود. بر این اساس، آنگونه که ژانگ (Zang) و همکارانش پیشنهاد نموده اند، مقدار سرعت مطلق روی سطح با وارد کردن اثر گرادیان فشار محاسبه می شود [۳۱]. بدین ترتیب میدان سرعت و فشار با یکدیگر کوپل شده و امکان محاسبه نیروها و گشتاورهای وارد بر بدن بوجود می آید.

## ۳- بررسی نتایج عددی

همانگونه که بیان گردید، مساله پیش رو از بخش‌های مختلفی تشکیل شده است که هر یک نیاز به بررسی جداگانه دارند. از این رو، در بخش حاضر مسائل مناسب برای بررسی صحت و دقت رویه عددی پیشنهادی و نتایج حاصل مطابق شکل ۳ به اختصار ارائه گردیده اند.

## ۳-۱- بررسی حل میدان سرعت و فشار

بررسی صحت پیاده سازی رویکرد گام جزئی در نرم افزار تهیه شده، گسسته سازی معادلات در شبکه محاسباتی نامتعامد (با توجه به شبکه بندي اطراف بدن که معمولاً نامتعامد خواهد بود) و بررسی استقلال حل از شبکه بندي میدان محاسباتی سه مساله مورد بررسی در این بخش می باشند. بر این اساس از مساله کاویتی (Cavity) مطابق شکل ۴ در دو حالت متعامد و نامتعامد استفاده شده که در آن سیال درون مخزن با حرکت صفحه بالایی به چرخش در می آید. با ثابت نگه داشتن ابعاد و سرعت کشیدن صفحه افقی برابر  $m/s$  ۱ و تغییر جرم حجمی و لزجت، عدد رینولدز مساله تعیین می شود. شکل های ۵ و ۶ بیانگر توزیع مولفه های افقی و عمودی سرعت  $u$  و  $v$  در رینولدز های ۱۰۰۰ و ۱۰۰۰۰ به ترتیب در کاویتی متعامد و نامتعامد می باشند که با کارهای مشابه انجام شده



[۳۲، ۳۳، ۳۴] مقایسه گردیده اند. برای بررسی استقلال حل از شبکه بندی دامنه محاسباتی نیز توزیع سرعت ۷۶ در مساله کاویتی متعامد در رینولدز ۱۰۰۰ مطابق شکل ۷ برای شبکه های مختلف مورد مقایسه قرار گرفته است.

### ۲-۳- بررسی گیسته سازی معادله انتقال نسبت حجمی

نتیجه حل معادله انتقال سطح آزاد، محاسبه نسبت حجمی هر یک از سلولهای میدان محاسباتی می باشد. برای گیسته سازی این معادله انتقال باید از میانیابی مناسبی استفاده نمود. در این قسمت میانیابی های موجود با هم مقایسه گردیده و توانایی آنها در انتقال میدان اسکالار بررسی شده است. بدین منظور یک توزیع اسکالار و میدان سرعت مشخص در میدان محاسباتی در نظر گرفته می شود [۶]. شکل ۸ بیانگر انتقال میدان اسکالار دایره ای شکل در یک میدان سرعت برشی توسط معادله انتقال و استفاده از میانیابی های مختلف می باشد. در این حالت، میدان سرعت برشی مفروض مطابق شکل ۸ - الف در جهت عقربه های ساعت بر میدان اسکالار اولیه (توزیع دایره ای اسکالار که درون دایره مقدار یک و خارج آن مقدار صفر برای اسکالار در نظر گرفته می شود) اعمال شده و بعد از زمان مشخص جهت آن معکوس می شود. در حالت ایده آل توزیع میدان اسکالار باید به شکل اول خود (توزیع دایره ای) بازگردد، اما خطای عددی مانع این کار می شود. بدین ترتیب و با اندازه گیری خطای موجود، می توان میانیابی های مختلف را با یکدیگر مقایسه نمود. خطای مورد نظر با مقایسه نتیجه انتقال توسط معادله اسکالار و توزیع ایده آل اسکالار قابل محاسبه است [۶]. با توجه به توانایی های CICSAM، در تحقیق حاضر از این میانیابی استفاده شده است. جزئیات بیشتر در رابطه با بررسی میانیابی های مختلف در مرجع [۲۷] وجود دارد.

### ۳-۳- بررسی توانایی شبیه سازی جریان همراه با سطح آزاد

در دو قسمت گذشته، دقیق و صحیح حل معادلات اساسی حاکم بر جریان (معادلات ناویر - استوکس و پیوستگی) و معادله انتقال نسبت حجمی به صورت جداگانه مورد بررسی قرار گرفتند. با توجه به هدف نهایی تحقیق، کوپل معادلات بیان شده از اهمیت بالایی برخوردار است. به علاوه، پیچیدگی ها موجود توجه خاصی را به خصوص در زمانیکه اختلاف خواص فیزیکی دو فاز سیال موجود در میدان محاسباتی زیاد باشد (مثل آب و هوای می طلبند. در این بخش، نتایج حاصل از نرم افزار تهیه شده با نتایج انتشار یافته مقایسه گردیده و نشان داده شده است که هدف بیان شده به گونه مناسبی برآورده می شود. بدین منظور شکستن دیواره آب درون مخزن در حالت های دو بعدی و سه



بعدی مطابق شکل ۹ مدلسازی شده است. شبکه محاسباتی مورد استفاده در حالت های دو بعدی و سه بعدی به ترتیب  $40 \times 40 \times 160$  و  $50 \times 50 \times 160$  بوده و از شرط مرزی عدم لغزش برای سرعت و گرادیات قائم صفر برای فشار استفاده شده است. پیش روی و کاهش ارتفاع آب در نمودار های شکل ۱۰ با نتایج تجربی [۳۵] مقایسه گردیده است. مساله مناسب دیگر نوسان مایع درون مخزن می باشد. در این حالت، سیال با شکل سطح آزاد اولیه موج دار مطابق شکل ۱۱-الف در اثر گرانش درون مخزن نوسان خواهد نمود. نمودار شکل ۱۱-ب بیانگر ارتفاع نوسان سیال درون مخزن در دیواره سمت راست آن می باشد که با نمودار تحلیلی موجود [۳۶] تطابق مناسبی دارد. ناپایداری رایلی - تیلور نیز از دیگر مسائل مناسب در این زمینه می باشد. توضیحات بیشتر در رابطه با مسائل یاد شده در مرجع [۲۶] وجود دارد.

### ۴-۳- بررسی توانایی تولید موج و شرط مرزی خروجی

همانگونه که پیش تر نیز بیان گردید، هدف از تهی نرم افزار حاضر ایجاد یک حوض آزمایش هیدرودینامیک عددی می باشد. در این حالت، تولید موج مناسب، توانایی حفظ و خروج آن از محیط محاسباتی از اهمیت بالایی برخوردار می باشد. در این قسمت موج آیری (Airy) با دامنه  $1/200$  و طول موج  $20\text{ m}$  با شرط مرزی دیریکله در دامنه محاسباتی نمایش داده شده در شکل ۱۲-الف تولید شده و در سایر مرزها از شرط مرزی گرادیان عمود بر سطح صفر برای سرعت استفاده شده است. به علاوه گرادیان عمود بر سطح صفر برای فشار در تمامی سطوح اعمال گردیده است. نکته مهم استفاده از ناحیه میرایی در مرز خروجی می باشد که برای به حداقل رساندن سرعتها در این مرز استفاده می گردد [۳۷]. شکل ۱۲-ب موج تولیدی توسط نرم افزار را با موج تحلیلی آیری مقایسه نموده است.

### ۴-۵- بررسی استفاده از استراتژی شبکه متصل به بدنه

در تحقیق حاضر، شبیه سازی حرکات با حل معادلات شش درجه آزادی حرکت و جابجایی شبکه محاسباتی در هر گام زمانی انجام می پذیرد. برای استفاده از این استراتژی باید ملاحظاتی در استفاده از معادلات حاکم بر جریان سیال انجام شود. این بخش به بررسی صحت اعمال ملاحظات مذکور می پردازد.



### ۳-۵-۱- برخورد استوانه با سطح آزاد آب

هنده مساله یک درجه آزادی ورود استوانه به درون آب و شبکه محاسباتی شامل ۱۸۹۰۰ سلول در شکل ۱۴

نشان داده شده است. دایره با جرم حجمی برابر با آب درست در بالای سطح آزاد قرار گرفته و با سرعت  $\frac{m}{s}$  با آن

برخورد می نماید. در این محاسبات، شرایط مرزی بکار رفته برای سرعتها عبارتند از: شرط عدم لغزش برای سطح استوانه، شرط سرعت صفر برای مرز پایین و شرط گرادیان صفر برای سایر سطوح. همچنین گرادیان عمود بر سطح صفر برای فشار در تمامی سطوح مرزی اعمال شده است. نمودارهای شکل ۱۵ جابجایی مقطع دایره ای درون آب را نمایش داده و بیانگر تغییر سرعت آن پس از برخورد می باشد. در این شکل، نتایج بدست آمده با نتایج تجربی [۳۸] و عددی [۲۲] مشابه مقایسه شده است. همانطور که مشاهده می شود، نتایج عددی بدست آمده در مقایسه با شبیه سازی عددی مشابه انجام شده از دقت بیشتری برخوردار می باشد. به علاوه، تغییر شکل سطح آزاد در سه گام زمانی با نتایج تجربی موجود [۳۸] مقایسه گردیده است که از تطابق مناسبی نیز برخوردار می باشد. هر چند می توان انتظار داشت که با تغییر شبکه بندی اطراف جسم و ریز نمودن آن در گوشه های بالای استوانه جوابهای دقیق تری بدست آید.

### ۳-۵-۲- مقاومت هیدرودینامیکی شناور بارج

در اندازه گیری مقاومت هیدرودینامیکی شناورها با استفاده از روشهای عددی، اغلب شناور را مقید (بدون امکان تغییر در زاویه و موقعیت شناور نسبت به سطح آب) شبیه سازی می کنند. حال آنکه در هنگام حرکت، زوایای شناور نسبت به سطح آب در مقایسه با حالت سکون تغییر یافته و همین مساله باعث وجود اختلاف در پیش بینی های انجام شده می گردد. در این شبیه سازی، نخست مقاومت شناور بارج با مشخصات اشاره شده در جدول ۱ و شکل ۱۶ در آزمایشگاه دریا دانشکده مهندسی مکانیک دانشگاه صنعتی شریف اندازه گیری شده است. در جریان این اندازه گیری، شناور در دو درجه آزادی حرکت قائم (Pitch) و غلتش طولی (Heave) آزاد بوده و در بقیه درجات آزادی مقید بوده است. شبیه سازی عددی توسط نرم افزار تهیه شده در دو حالت انجام شده است. در حالت مقید، شناور با

سرعت  $\frac{m}{s}$  در راستای محور X کشیده شده و اجازه هر نوع حرکت دیگری از آن گرفته شده است. در حالت



آزاد که با شرایط آزمایش تطابق دارد، اجازه جابجایی قائم در راستای محور Z و غلتش طولی حول محور Y به شناور داده شده است.

شکل ۱۷ تغییر شکل سطح آزاد در جلوی بارج را نشان می‌دهد که با آزمایش تجربی انجام شده مقایسه گردیده است. نتیجه تطابق مناسب این دو شکل، محاسبه مناسب مولفه مقاومت موج ساز و در نتیجه مقاومت هیدرودینامیکی کل توسط نرم افزار تهیه شده می‌باشد، اگرچه با ریز نمایی بیشتر شبکه محاسباتی، امکان پیش بینی دقیق تر سطح آزاد بوجود می‌آید. نتایج بدست آمده در جدول ۲ نمایش داده شده است. بدیهی است که عوامل دیگری مثل جریان مغشوش اطراف شناور در دقت مقاومت پیش بینی شده تاثیر گذار می‌باشند، اما هدف تحقیق حاضر نشان دادن اهمیت شبیه سازی حرکت شناور در محاسبه مقاومت آن بوده است. همانگونه که در جدول ۲ دیده می‌شود، با برداشتن محدودیت در دو درجه آزادی حرکت قائم و غلتش طولی و به عبارت دیگر، نزدیک شدن به شرایط اندازه گیری آزمایشگاهی، خطای محاسباتی به حدود ۵/۹ درصد کاهش یافته است.

#### ۴- نتیجه گیری

مدلسازی حرکات کشتی‌ها و زیر دریائیها، کاربرد بسیاری در مسائل مهندسی دریایی داشته و با پیشرفت توان رایانه‌ها، دینامیک سیالات محاسباتی ابزار مناسبی را بدین منظور در اختیار گذاشته است. بر این اساس، در تحقیق حاضر توزیع سرعت و فشار یک سیال موثر (به جای دو سیال آب و هوا) در اطراف جسم صلب، با استفاده از رویکرد گام جزئی در حل معادلات ناویر - استوکس و پیوستگی، بدست آمده است. به علاوه، با توجه به وجود تغییر شکلهای بزرگ و پیچیده سطح آزاد مثل شکست موج، برای محاسبه مشخصات جرم حجمی و لزجت سیال موثر، از رویکرد حجمی با حل معادله انتقال نسبت حجمی استفاده شده است. بدین ترتیب و با انتگرال گیری از تنشهای قائم و مماسی بر روی بدن، نیروها و گشتاورهای وارد بر آن محاسبه شده و در نتیجه جابجایی‌های آن بدست می‌آیند. این روش با جابجایی شبکه محاسباتی متصل به بدن در هر گام زمانی، تا رسیدن به زمان مورد نظر ادامه پیدا می‌کند. اگرچه در شبیه سازی‌های انجام شده در این تحقیق معادلات حرکت در یک و دو درجه آزادی حل شده اند، اما الگوریتم ارائه شده کلی بوده و توانایی مدلسازی حرکت‌های پیچیده را نیز دارد. بر این اساس و با توجه به دقت نرم افزار تهیه شده توانایی قابل توجهی در شبیه سازی هرگونه حرکات غیر خطی کشتی‌ها و زیردریائیها در دسترس قرار می‌گیرد.



## -۵- مراجع

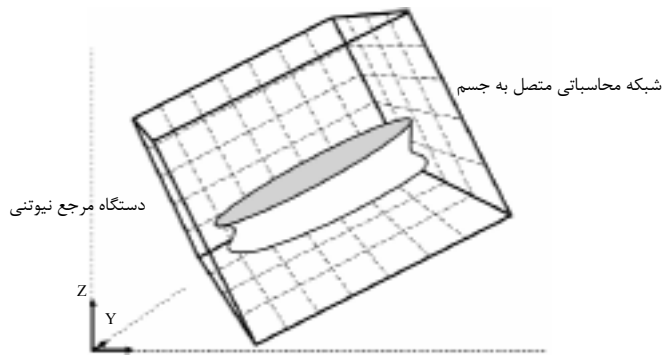
1. Patankar, S.V. and Spalding, D.B. "A calculation procedure for heat, mass and momentum transfer in three dimensional parabolic flows", Int. J. Of heat mass transfer, Vol. 15, p. 1787, 1972.
2. Issa, R.I. "Solution of the implicitly discretised fluid flow equations by operator-splitting", J. Computational Physics, 62(1):40-65, 1986.
3. Brown, D.L., Cortez, R., Minion, M.L. "Accurate projection methods for the incompressible Navier-Stokes equations", J. of Computational Physics, 168:464-499, 2001.
4. جهان بخش، ابراهیم، پناهی، روزبه، سیف، محمد سعید ((بکارگیری روش گام جزئی در شبیه سازی سطح آزاد)), مجله فی مهندسی مدرس، ویژه نامه مکانیک، ۱۳۸۵.
5. Ferziger, J.H. and Peric, M. "Computational methods for fluid dynamics", 3<sup>rd</sup> Ed., Springer, 2002.
6. Panahi, R., Jahanbakhsh, E. and Seif, M.S. "Effect of interpolation in interface capturing methods", 8<sup>th</sup> Numerical Towing Tank Symposium (NuTTs), Varna, 2-4 October, 2005.
7. Ubbink, O. and Issa, R.I. "A method for capturing sharp fluid interfaces on arbitrary meshes, J. of Comput. Phys., Vol.153, p.26-50, 1999.
8. Chen, G. and Kharif, C. "Two-Dimensional Navier-Stokes Simulation of Breaking Waves, Phys. of Fluids", Vol.11 (1), p.121-133, 1999.
9. Biausser, B., Fraunie, P., Grilli, S. and Marcer, R. "Numerical analysis of the internal kinematics and dynamics of three-dimensional breaking waves on slopes", Int. J. of Offshore and Polar Eng., Vol.14, No.4, 2004.
10. Fekken, G., Veldman, A.E.P. and Buchner, B. "Simulation of Green Water Loading Using the Navier-Stokes Equations", Proceeding of the 7<sup>th</sup> Int. Conference on Numerical Ship Hydrodynamics, Nantes, France, 1999.
11. Huijsmans, R.H.M., Van Groen, E. "Coupling Freak Wave Effects with Green Water Simulations", Proceeding of the 14<sup>th</sup> ISOPE, Toulon, France, May 23-28, 2004.
12. Loots, E., Buchner, B., Pastoor, W. and Tveitnes, T. "The numerical solution of LNG sloshing with an improved Volume-of-Fluid method", In Proceeding of 23<sup>rd</sup> Int. Conference on Offshore Mech. And Arctic Eng. (OMAE2004-51085), Vancouver, 2004.



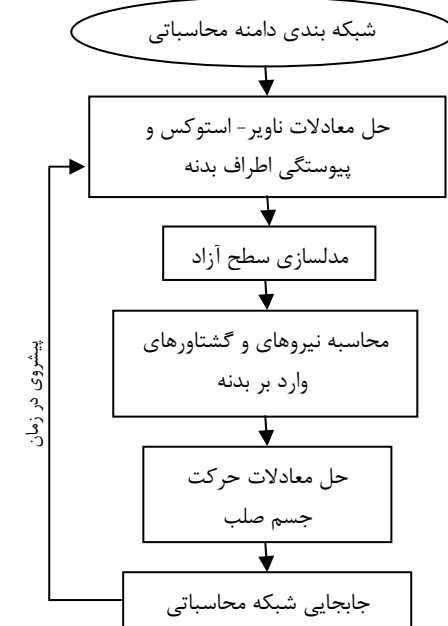
13. Yang, C., Lohner, R. and Yim, S.C. "Developement of a CFD simulation method for extreme wave and structure interactions", In Proceeding of 24<sup>th</sup> Int. Conference on Offshore Mech. and Arctic Eng. (OMAE2005), Halkidiki, Greece, June 12-17, 2005.
14. Bertram, V. "Practical ship hydrodynamics", Butterworth-Heinemann, Oxford, 2000.
15. Miyata H., Sato T. and Babo N. "Difference solution of a viscous flow with free-surface wave about an advancing ship", J. Comput. Phys., Vol.72, p.393-421, 1987.
16. Hochbaum, C. "A finite volume method for turbulent ship flows", Ship Technology Research Schiffstechnik, Hamburg, Germany, 1994.
17. Alessandrini B. and Delhommeau G. "Simulation of three-dimensional unsteady viscous free surface flow around a ship model", Int. J. of Numerical Math. Fluids, Vol.19, p.321-342, 1994.
18. Kinoshita, T., Kagemoto, H. and Fujino, M. "A CFD application to wave-induced floating-body dynamics", 7th Int. Conference on Numerical Ship Hydrodynamics, Nantes, France, 1999.
19. Miyake R., Kinoshita T. and Kagemoto H. "Ship Motions and loads in large waves", 23<sup>rd</sup> ONR Symp. On Naval Hydrodynamics, Val de Reuil, France, 2000.
20. Azcueta R. "Computation of turbulent free surface flow around ships and floating bodies", PhD Thesis, Teschnichen Universitat Hamburg-Harburg, 2001.
21. Vogt, M. and Hochbaum C. "Numerical simulation of ship motions in head waves with a RANSE method", HSVA Report 1649, Hamburg, Germany, 2002.
22. Xing-Kaeding, Y. "Unified approach to ship seakeeping and maneuvering by a RANSE method", PhD Thesis, Teschnichen Universitat Hamburg-Harburg, 2004.
۲۳. پناهی، روزبه، جهان بخش، ابراهیم، سیف، محمد سعید ((دینامیک سیالات محاسباتی و مدلسازی عددی هیدرودینامیک شناورها، گذشته، حال و آینده)), هفتمین همایش صنایع دریایی، تهران، ۱۳۸۴.
24. White, F.M. "Fluid mechanics", Mc Graw-Hill, 4<sup>th</sup> Ed., 2001.
25. Jasak, H. "Error analysis and estimation for finite volume method with application to fluid flows", PhD Thesis, University of London, 1996.
26. Jahanbakhsh, E., Panahi, R. and M.S. Seif, "Numerical Simulation of Three-Dimensional Interfacial Flows", International Journal of Numerical Methods for Heat & Fluid Flow, accepted for publication, 2006.



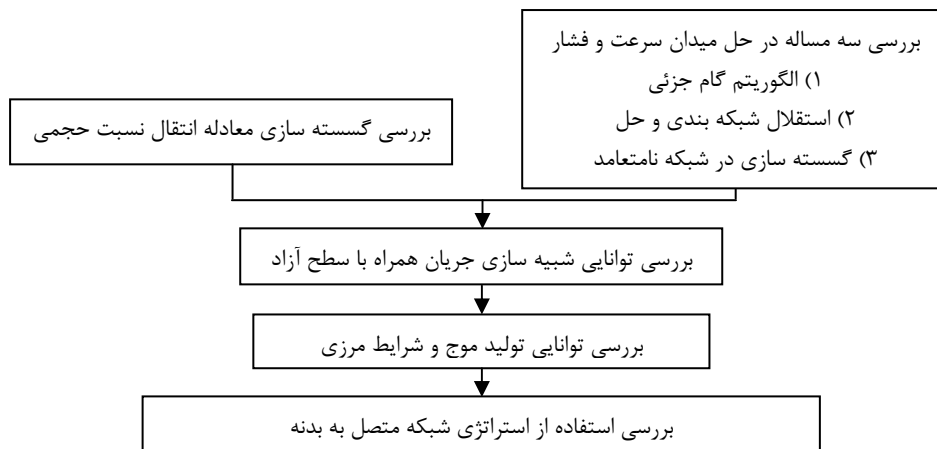
27. Panahi, R., Jahanbakhsh E. and Seif, M.S. "Comparison of Interface Capturing Methods in Two Phase Flow", *Iranian Journal of Science & Technology, Transaction B: Technology*, Vol.29, No. B6., 2005.
28. Gaskell, H. and Lau, A. K. C. "Curvature-compensated convective transport: SMART, a new boundedness-preserving transport algorithm", *International Journal on Numerical Methods in Fluid*, 8:617-641, 1988.
29. Leonard, B.P. "The ULTIMATE conservation difference scheme applied to unsteady one dimensional direction", *Computational Methods in Applied Mechanic and Engineering*, 88:17-74, 1991.
30. Kim, D. and Choi, H. "A second-order time-accurate finite volume method for unsteady incompressible flow with hybrid unstructured grids", *J. of computational physics*, 162:411-428, 2000.
31. Zang, Y., Street, R.L. and Koseff, J.R. "A non-staggered fractional step method for time-dependent incompressible Navier-Stokes equations in curvilinear Coordinate", *J. of computational physics*, 114:18-33, 1994.
32. Ghia, U., Ghia, KN. and Shin, CT. "High-Re solution for incompressible flow using the Navier-Stokes equations and a multigrid method", *Int. J. computational physics*, 48(3):387-411, 1982.
33. Norris, S.E., (2000), A Parallel Navier–Stokes Solver for Natural Convection and Free Surface Flow, PhD Thesis, department of mechanical engineering, University of Sydney.
34. Demirdzic, Z., Lilek, and Perić, M. "Fluid flow and heat transfer test problems for nonorthogonal grids: bench-mark solutions", *Int. J. for numerical methods in fluids*, 15:329–354, 1992.
35. Martin, J.C., Moyce, W.J. "An experimental study of the collapse of liquid columns on a rigid horizontal plane", *Philos. Trans. Roy. Soc. London*, Vol. A244, p.312-324, 1952.
36. Raad, P.E., Chen, S., Johnson, D.B. "The introduction of micro cells to treat pressure in free surface fluid flow problems", *J. of fluids engineering*, 117:683-690, 1995.
37. Kim, M.H., Niedzwecki, J.M., Roessel, J.M., Park, J.C. and Tavassoli, A. "Fully Nonlinear Multidirectional Wave Simulations by 3D Numerical Wave Tanks", *ASME, J. of Offshore Mechanics and Arctic Engineering*, accepted for publication, 2001.
38. Greenhow, M. and Lin, W. "Nonlinear free surface effects: experiments and theory", Report No. 83-19, Massachusetts Institute of Technology, 1983.



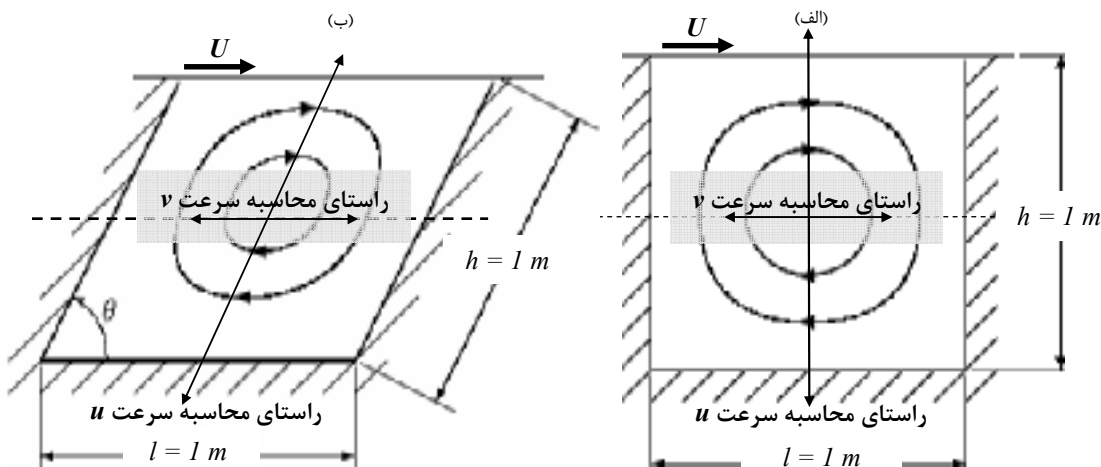
شکل ۲- استراتژی شبیه سازی حرکات



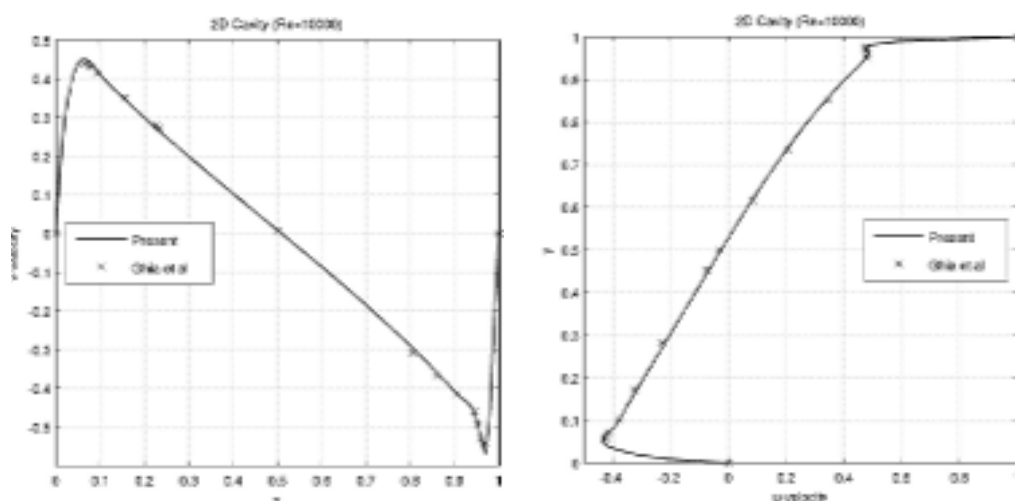
شکل ۱- الگوریتم عددی شبیه سازی حرکات



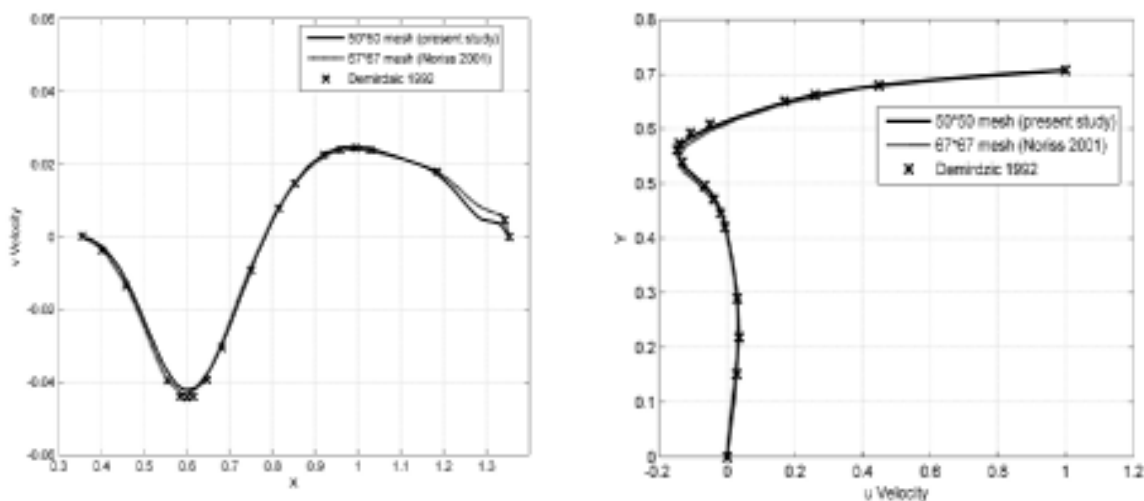
شکل ۳- مراحل تایید نرم افزار تهییه شده



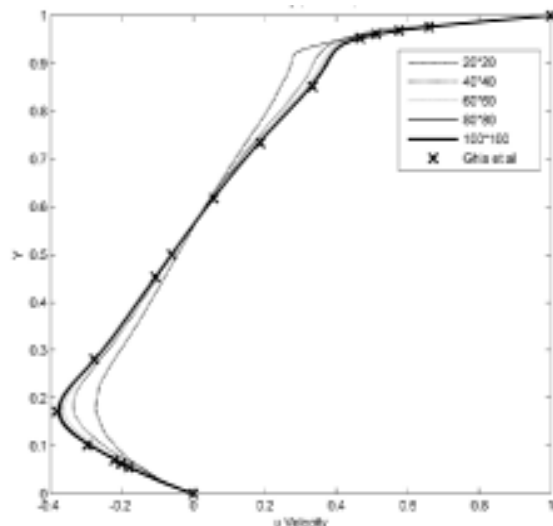
شکل ۴- مساله کاوهیتی: (الف): متعامد، (ب): نامتعامد



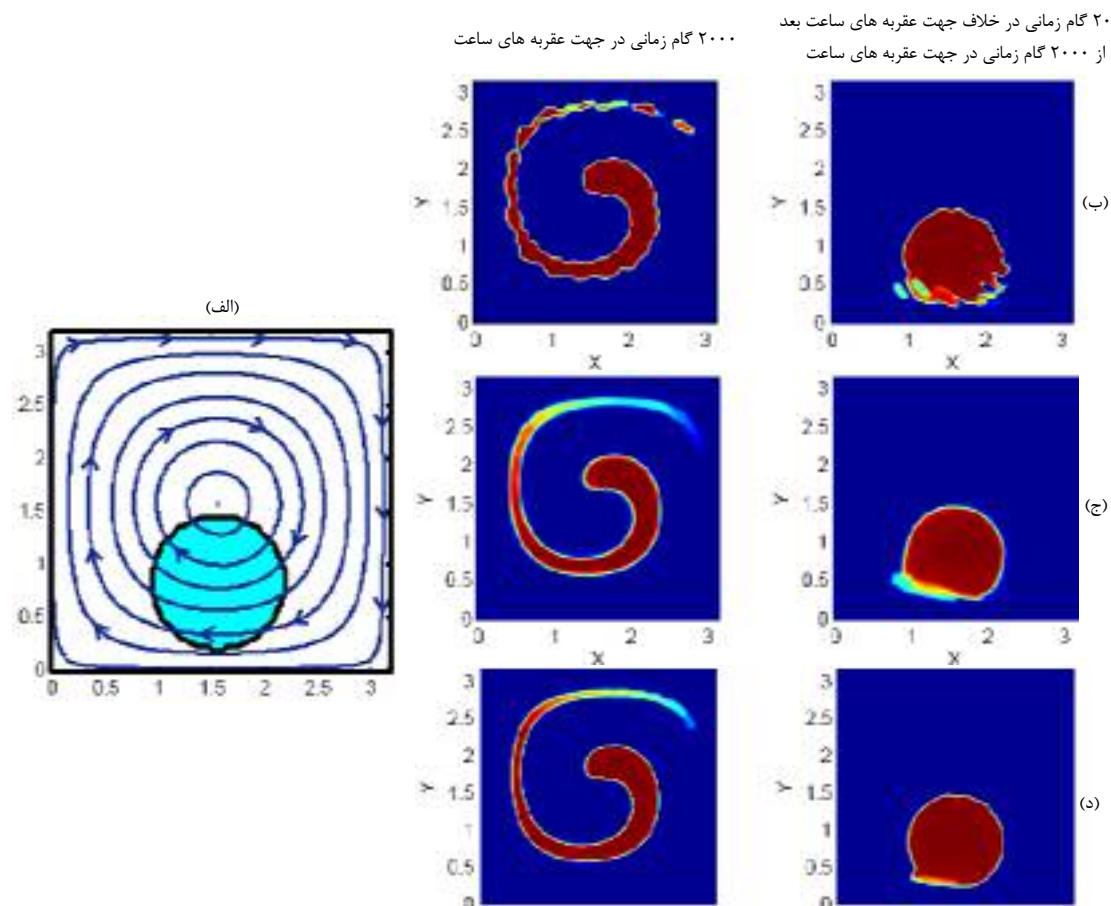
شکل ۵- توزیع سرعت  $u$  و  $v$  در عدد رینولدز ۱۰۰۰ در کاویتی متعامد



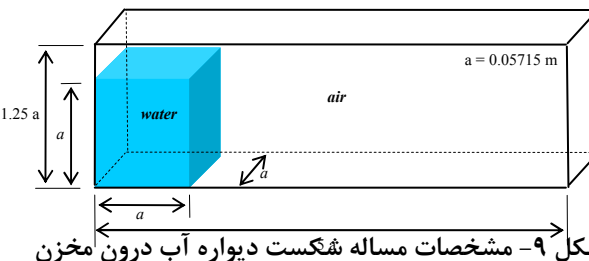
شکل ۶- توزیع سرعت  $u$  و  $v$  در عدد رینولدز ۱۰۰۰ در کاویتی نامتعامد با زاویه ۴۵ درجه



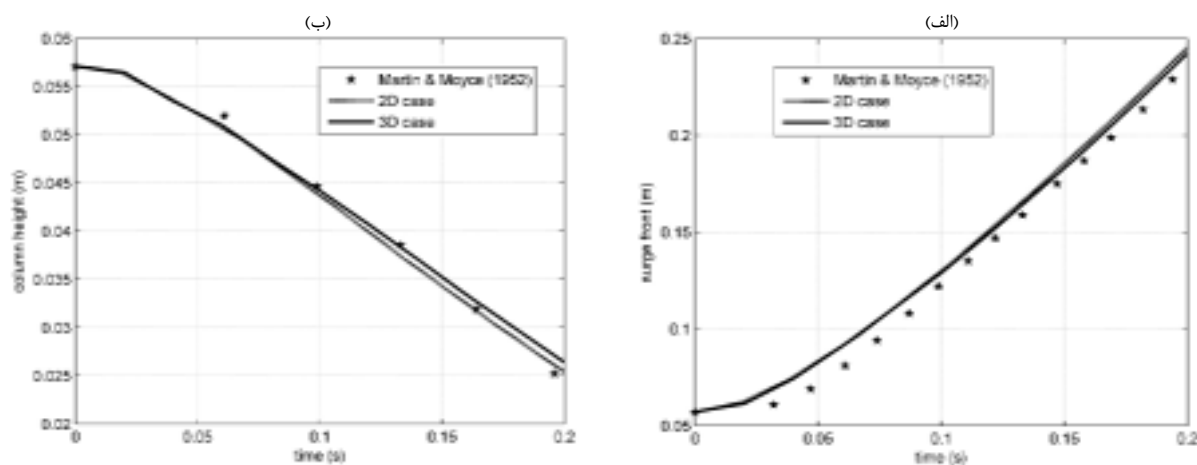
شکل ۷- بررسی استقلال حل از شبکه بنده میدان محاسباتی، توزیع سرعت  $u$  در عدد رینولدز ۱۰۰۰ در کاویتی متعامد



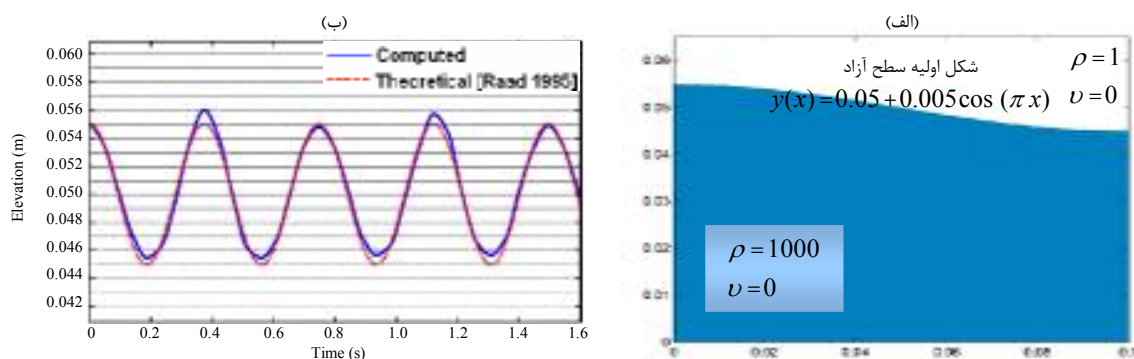
شکل ۸- توزیع اسکالار دایره: (الف): توزیع اولیه اسکالار و میدان سرعت ساعتگرد،  
(ب): استفاده از میانیابی CICSAM، (ج): استفاده از میانیابی HRIC، (د): استفاده از میانیابی Hyper-C



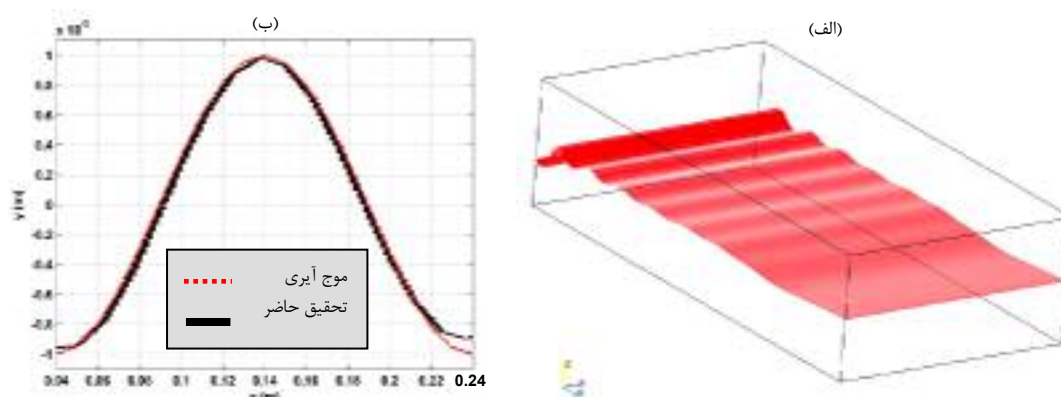
شکل ۹- مشخصات مساله شکست دیواره آب درون مخزن



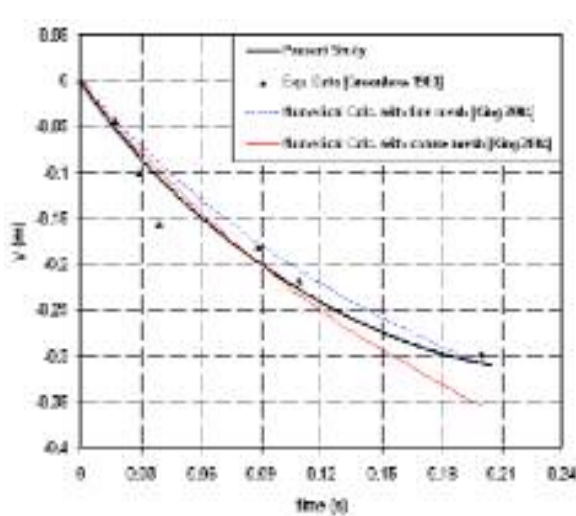
شکل ۱۰- مقایسه نتایج مدلسازی شکست دیواره آب درون مخزن: (الف) پیشروی آب درون مخزن، (ب) کاهش ارتفاع آب درون مخزن



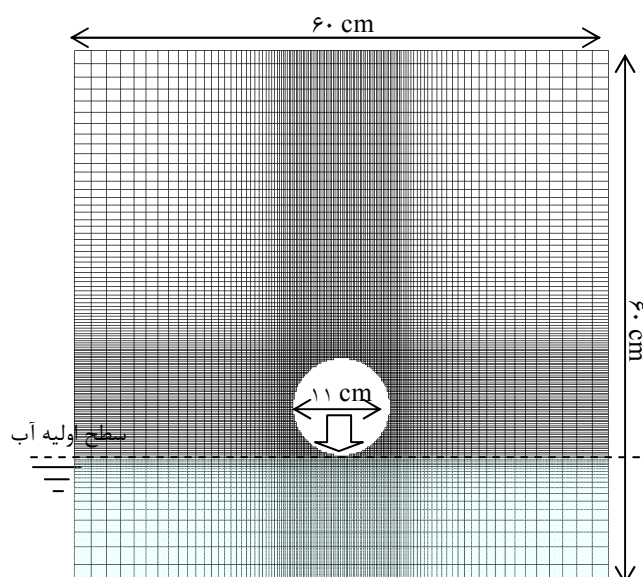
شکل ۱۱- مساله جابجایی آب درون مخزن: (الف) هندسه مساله، (ب) ارتفاع سیال در دیواره سمت راست مخزن



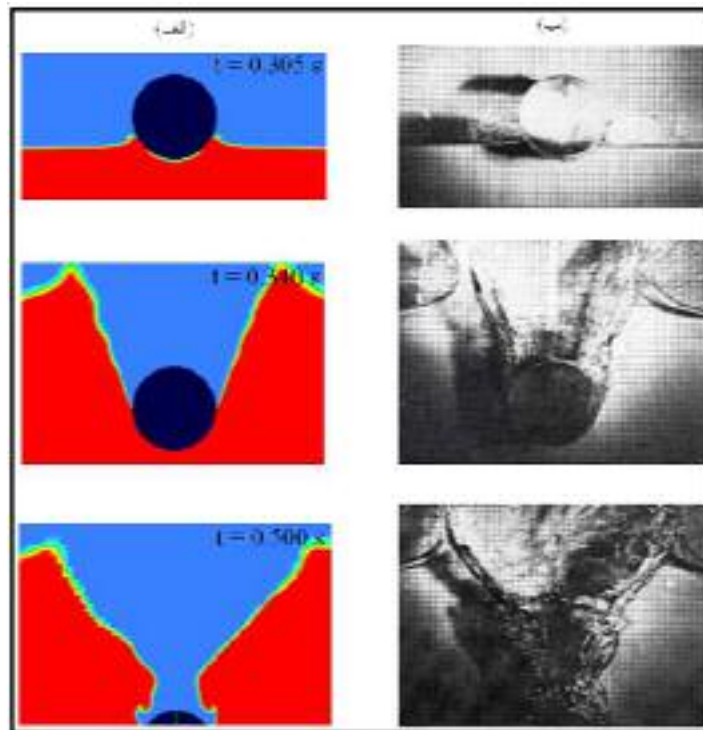
شکل ۱۲- تولید موج، حفظ و خروج آن: (الف): تولید موج در دامنه محاسباتی، (ب): مقایسه موج تولید شده و موج تحلیلی آبری



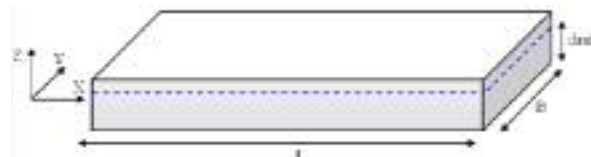
شکل ۱۵- جابجایی مقطع دایره ای درون آب



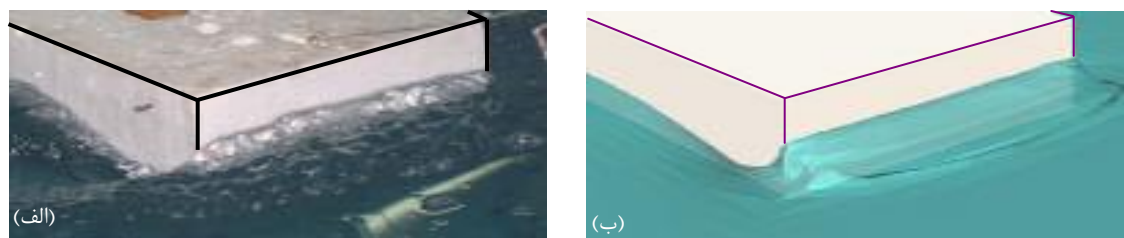
شکل ۱۴- هندسه مساله برخورد استوانه با سطح آب



شکل ۱۶- تغییر شکل سطح آزاد پس از برخورد استوانه با سطح آزاد: (الف) شبیه سازی عددی، (ب) کار تجربی [۲۸]



شکل ۱۷- تعاریف هندسه شناور بارج



شکل ۱۸- تغییر شکل سطح آزاد در جلوی شناور بارج (الف): کار تجربی، (ب): شبیه سازی عددی

جدول ۱- مشخصات شناور بارج

L	1.05 m
B	0.29 m
Draft	0.025 m
C <sub>B</sub>	1.0
Mass	7.26 Kg
I <sub>YY</sub>	0.7 Kgm <sup>2</sup>
KG	0.025 m

جدول ۲- مقاومت شناور بارج

مقاطومت	مقدار (N)	خطا (%)
اندازه گیری آزمایشگاهی	۳/۵۳	-
محاسبه عددی در حالت مقید	۲/۷۱	% ۲۳/۲
محاسبه عددی در حالت دو درجه آزادی	۳/۳۲	% ۵/۹